

数量化II類解析を用いた地すべり危険度評価とその問題
～熊本県八代郡東陽村地域を対象として～

八代工業高等専門学校 学生員 ○中村 太一
八代工業高等専門学校 正会員 岩部 司
九州東海大学工学部 正会員 中山 洋
九州東海大学工学部 正会員 荒牧昭二郎

1. まえがき

近年、山地の土地開発行為によって地すべり等の斜面災害に遭遇する機会が増していることから、今後、斜面の危険度評価のための手法を確立する必要がある。著者らは、この問題に対して地すべり斜面を対象に地盤情報システムを用いて地すべり解析を行っている¹⁾。そこで本研究では、数量化II類解析を用いて地すべり斜面の危険度評価を行った際に生じた問題を考察し、より正確な危険度評価を行うための手法について検討した。なお、解析対象地域は中央構造線（臼杵一八代線）の南側に位置する熊本県八代郡東陽村地域を対象とした。図1は解析対象地域の地すべり分布と地質構造を示している。

2. 解析手順

まず解析対象地域を50mメッシュに区分し、各メッシュ毎に表1に示すような地盤情報データを入力してデータベースを作成した。次に、これらに数量化II類解析によって判別分析を行い、得られたカテゴリーカテゴリー数量の値を使って、健全地および地すべり地の各グループ毎にカテゴリーカテゴリー数量和の頻度分布図を作成した。

ここで、健全地および地すべり地の各グループの頻度分布はそれぞれ正規曲線 $f(1)$ 、 $f(2)$ に従うと仮定し、危険度 D_f を式(1)のように定義²⁾し、各メッシュに対して危険度を20%毎の5段階で評価してハザードマップを作成した。

$$\text{危険度 } D_f = \frac{f(2)}{f(1)+f(2)} \times 100 \quad (\%) \quad (1)$$

3. 解析結果と考察

数量化II類による解析の結果、表1に示すように、土地被覆状況アイテムのなかで畑・水田等の農耕地のカテゴリが地すべりの判別に強く影響を与えること、および

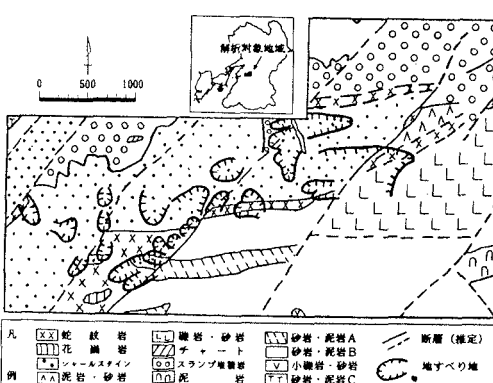


図1 東陽村地域の地すべり分布と地質

表1 入力した地盤情報と数量化II類解析の解析結果

アイテム	カテゴリーカテゴリー数	範囲
蛇紋岩	0.574	R=3.200 C=0.183
花崗岩	-0.252	
シャーレルスチーン	0.271	
泥岩・砂岩	-0.107	
礫岩・砂岩	-0.165	
チャート	-0.052	
スランプ堆積物	-0.157	
泥岩・砂岩	-0.443	
砂岩・泥岩A	-0.516	
砂岩・泥岩B	-0.298	
小礫岩・砂岩	-0.236	
砂岩・泥岩C	-2.626	
0~5°	0.100	R=1.443
5~10°	0.533	C=0.104
10~15°	-0.151	
15~20°	0.442	
20~25°	0.180	
25~30°	0.045	
30~35°	-0.038	
35~40°	-0.094	
40~45°	-0.038	
45~50°	-0.002	
50~	-0.117	
0~45°	0.141	R=0.454
45~90°	0.002	C=0.088
90~135°	0.181	
135~180°	0.039	
180~225°	-0.265	
225~270°	-0.205	
270~315°	-0.026	
315~360°	0.189	
草地	0.267	R=2.708 C=0.454
水田	1.489	
竹林	0.189	
広葉樹	-0.237	
針葉樹	-0.441	
茶畠	2.242	
果樹園	-0.020	
人工物地	0.406	
荒地	-0.433	
灌木面	-0.439	
0~45°	-0.176	R=0.184 C=0.020
45~90°	0.009	
90~135°	0.005	
135~180°	-0.005	
0~30°	0.298	R=0.409 C=0.108
30~60°	-0.111	
60~90°	0.200	
90~120°	0.074	
120~150°	0	
150~180°	-0.146	
0~30°	-0.237	R=0.687 C=0.051
30~60°	0.138	
60~90°	0.084	
90~120°	-0.541	
120~150°	0.067	
150~180°	-0.146	
断層線上～100m	-0.060	R=0.172
100~200	0.058	C=0.044
200~300	0.111	
300～	-0.015	
地盤受け皿	-0.003	R=0.007
地盤質造	0.004	C=0.002

(*): 方向の基準は真東とし、時計回りに角度を考える。

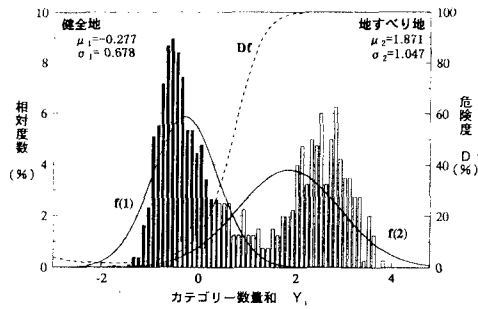


図2 カテゴリー数量和の頻度分布と正規曲線
および危険度曲線との関係

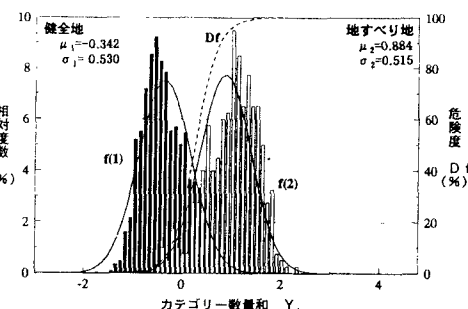


図4 カテゴリー数量和の頻度分布と正規曲線
および危険度曲線との関係（制限値設定）

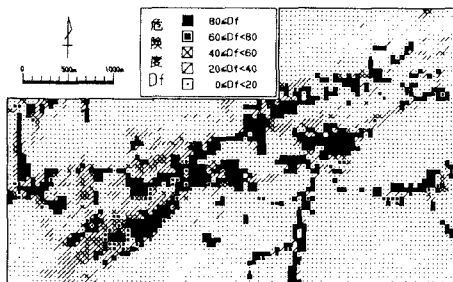


図3 ハザードマップ

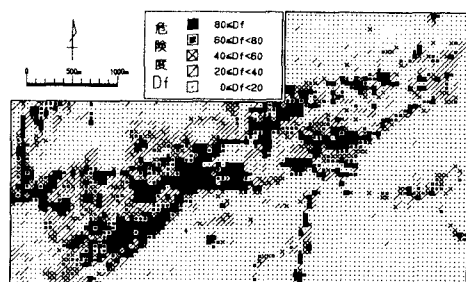


図5 ハザードマップ（制限値設定）

図2に示すように健全地・地すべり地のカテゴリー数量和の頻度分布が正規曲線に近似しないことがわかった。このとき得られるハザードマップを図3に示す。図よりハザードマップは図1と比較して地すべりの生じないような細長い地域（畑や水田等に利用されている）にも、その危険性があることを示した。

そこで、このような農耕地（畑・水田等）のカテゴリーによる過剰な評価を抑えるために、式(2)のようにカテゴリー数量に対して制限値を設定して、再度解析を行った。

$$\text{制限値 } L_R = \pm \{\text{全アイテムの範囲} R \text{の平均}\} / 2 \quad (2)$$

なお、本解析の制限値は、以下のことになった。

$$L_R = \pm \{(3.200+1.443+0.454+2.708+0.184+0.409+0.687+0.172+0.007)/9\} / 2 \\ = \pm 0.51$$

その結果、制限値を設けることによって、図4に示すように両グループの頻度分布は、分散が小さくなり、より正規曲線に従うようになった。また、図5に示すようにハザードマップも農耕地のカテゴリーによる過剰な評価が抑えられ、より妥当な危険度図が得られた。

4. あとがき

数量化II類解析を用いて、ハザードマップの作成を試みたが、相関の非常に強いカテゴリー数量の値をそのまま利用すると過剰な危険度評価が成されることが判明した。今回、その対策としてカテゴリー数量に制限値を設定し妥当な結果が得られたが、今後は他の地域においてもこのような成果が得られるか検証したい。

参考文献

- 1) 岩部、中山、荒牧：地盤情報システムを用いた熊本県東陽村の地すべり解析、第30回地盤工学研究発表会講演集、pp. 149-150、1995
- 2) 平田、他2：土石流発生危険度判定法の一提案と適用、土木学会第41回年次講演会、pp. 601-602、1986